

## 2. Mathematical Models of Mechanical Systems

### 2.1. Introduction

A very simple class of mechanical system

A single rigid body or  
of two rigid bodies simply connected } ... Planar motion including rotating motion in the plane

Free-body diagram → Newton's and Euler's laws ⇒ the differential equations

The mathematical model ... { A set of differential equations  
that describe the physical system and  
its environment, plus certain auxiliary information.

The model includes any approximations.<sup>2</sup>

Several severe restrictions on the general validity of our analytical approach → Simplifying our models and yielding solutions to the equations that are accurate enough for many practical purposes.

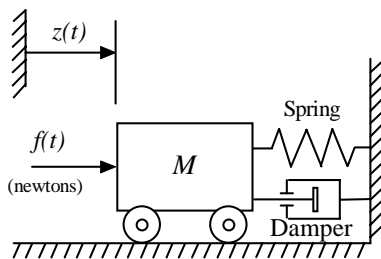
Simple mechanical systems and the circumstances ... Ordinary differential equations with constant coefficients

The valid time interval  
The appropriate physical conditions at the initial instant of that time interval } ⇒ The initial-value problem on differential equations

The modeling process ... The bridge between the physics and the mathematics of the problem

### 2.2. Mass, Spring, and Damper System

A simple mass, spring, and damper system as shown in Fig.2.1



Frictionless, massless wheels

Fig.2.1 The mass, spring, and damper system.

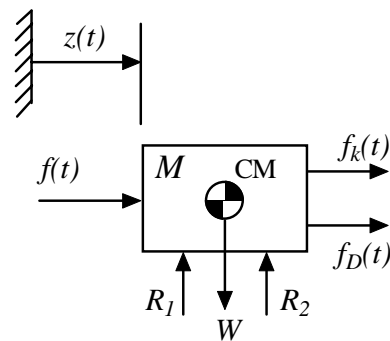


Fig.2.2 Free-body force-mass diagram.

- $z(t)$  : The displacement of the cart from a reference point fixed to the level plane
- $z = 0$  : The position in which the spring is relaxed.
- The level plane : An inertial reference frame
  - The mass of the wheels is ignored.
  - The friction in the wheel bearings is negligible.
  - A force  $f(t)$  is applied in the positive  $z(t)$  direction.
- $M$  : The mass of the cart and is constant.
- The motion of the cart : only in the horizontal direction, does not rotate, nor do the wheels lose contact with the plane

Newton's second law ⇐ The free-body force-mass diagram of Fig.2.2

<sup>1</sup>The boundary conditions existing between the system and its environment, the identification of the exciting agents(inputs) to the system, and the interval of time during which the differential equations provide a valid description of the system dynamics.

<sup>2</sup>For example, we will ignore the earth's rotation and assume that the earth is an inertial reference frame.

**Five agents** applying a force to the mass

Gravity, the vertical contact forces supporting the cart, the external driving force  $f(t)$ , the contact force due to the spring  $f_k(t)$  and the contact force due to the damper plunger  $f_D(t)$  From assumption that the cart does not accelerate in the vertical direction,

$$\therefore R_1 + R_2 - W = 0$$

The two forces  $R_1$  and  $R_2$  also have moments about the center of mass.

From the assumption that the cart does not rotate, the sum of the moments will be zero.

↓

The terms  $R_1$  and  $R_2$  will fluctuate as the cart moves to and fro.  $\Leftrightarrow$  the sum of the moments remains zero.

$\Rightarrow$  Only the motion in the  $z$  direction

Newton's second law for motion, the rate of change of the linear momentum of the mass in the  $z$  direction is equal to the sum of all the force applied to the mass in the  $z$  direction

$$M\ddot{z} = f(t) + f_k(t) + f_D(t) \quad (2.1)$$

The unit for mass,  $M$ : kilograms[kg], the unit for displacement: meter [m], the unit of force: newtons [N], the unit of time: seconds [s].

$\ddot{z}(t)$ : units of meter per second per second [(m/s)/s]

The spring force and the damper force . . . depending on the motion of the cart

the spring force . . . the displacement  $z(t)$   
 the damper force . . . the relative velocity between the plunger and the cylinder  
 in this case  $\dot{z}(t)$

$\Rightarrow$  the dependence on the physical properties of the spring and the damper

The simplest type of spring model . . . the ideal (lossless) Hooke's law

$$f_k(t) = -kz(t) \quad (2.2)$$

where  $k$  is the spring constant having units of N/m.

The minus sign: the arrow denoting  $f_k(t)$  in Fig.2.2 points in the  $+z$  direction

In the damper: a viscous fluid working around the plunger as it moves back and forth in the cylinder transmits the force  $f_D(t)$  to the cart.

A laboratory test of the damper . . . a force-velocity characteristic resembling that shown in Fig.2.3.

A model characteristic:

$$f_D(t) = -[\alpha\dot{z}(t) + \beta\dot{z}^3(t)] \quad (2.3)$$

where  $\alpha$  N/(m/s) and  $\beta$  N/(m/s)<sup>3</sup> are coefficient chosen so that Eqn.2.3 will fit the laboratory data of Fig.2.3.

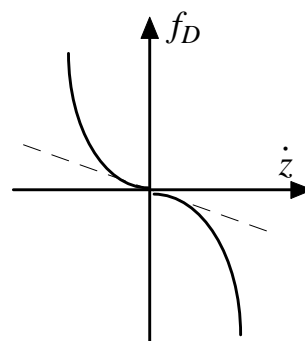


Fig.2.3 Force-velocity character of damper.

If mechanical contact exists between plunger and cylinder it will not create a friction force independent of  $\dot{z}(t)$ .

$z(t)$ : 制限

$$M\ddot{z}(t) + \alpha\dot{z}(t) + \beta\dot{z}^3(t) + kz(t) = f(t) \quad (2.4)$$

$M \neq 0$

$$\ddot{z}(t) + \left[\frac{\alpha}{M}\right]\dot{z}(t) + \left[\frac{\beta}{M}\right]\dot{z}^3(t) + \left[\frac{k}{M}\right]z(t) = \left[\frac{1}{M}\right]f(t) \quad (2.5)$$

$\Rightarrow$  二階非線形常微分方程式  $\rightarrow$  連立の一階常微分方程式 ( $z(t) = x_1(t)$ ,  $\dot{z}(t) = x_2(t)$ ): 状態変数)

$$\begin{aligned} \dot{x}_1(t) &= x_2(t) \\ \dot{x}_2(t) &= -\left[\frac{k}{M}\right]x_1(t) - \left[\frac{\alpha}{M}\right]x_2(t) - \left[\frac{\beta}{M}\right]x_2^3(t) + \left[\frac{1}{M}\right]f(t) \end{aligned} \quad (2.6)$$

初期値問題

$t_0 \leqq t \leqq t_F$   $f(t)$  : a known(given) function  
 $t = t_0$   $x_1(t_0), x_2(t_0)$  : given at the initial instant  
 Arbitrary  $t$   $z_{min} \leqq z(t) \leqq z_{max}$  : A restricted variable

初期条件

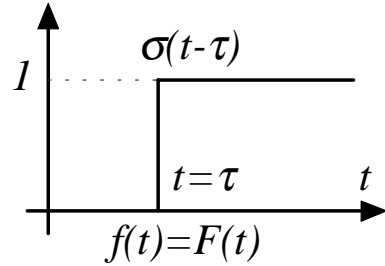
$x_1(0) = z(0)$  [m]  
 $x_2(0) = \dot{z}(0)$  [m/s]

カートの初期加速度の決定

$\ddot{z}(0^+) = \dot{x}_2(0^+) = \frac{1}{M}[F - kz(0) - \alpha\dot{z}(0) - \beta[z\dot{z}(0)]^3]$  m/s<sup>2</sup>

↓

$z(t_F); \dot{x}_1(t_F) = 0 \implies z(t_F) = \frac{F}{k}$  [m]  
 $\dot{x}_2(t_F) = 0$



Input function(Step)

$\beta\dot{z}^3(t)$  非線形項  $\implies z(t)$  に他の制限を付加 (運動に関して) ... 速度が小さい  
 ... カートの速度が十分小さくなる  $f_D(t) \cong -\alpha\dot{z}(t) \rightarrow$  点線 (図)

$\dot{x}_1(t) = x_2(t)$   
 $\dot{x}_2(t) = -\left[\frac{k}{M}\right]x_1(t) - \left[\frac{\alpha}{M}\right]x_2(t) + \left[\frac{1}{M}\right]f(t)$  (2.9)  
 $t_0 \leqq t \leqq t_F$  and  $f(t)$  is known,  
 $x_1(t_0)$  and  $x_2(t_0)$  are known,  
 $z_{min} \leqq x_1(t) \leqq z_{max}$  and  $\beta\dot{z}^3(t) \cong 0$

2

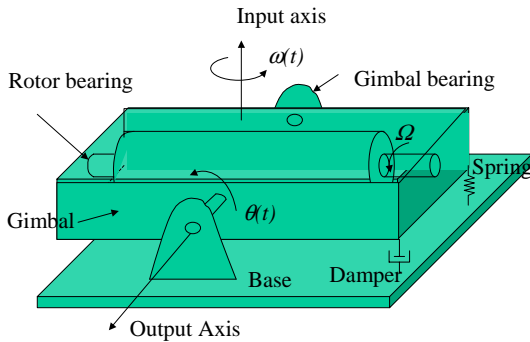


Fig.2.4 Simple rate gyroscope

角運動量

$\hat{H}(t) = I_R\Omega\hat{i}(t) + I_0\dot{\theta}(t)\hat{k}(t)$  kg · m/s<sup>2</sup> (2.10)

$I_R$ :  $\hat{i}$ 軸についての慣性モーメント kgm<sup>2</sup>  
 $I_0$ :  $\hat{k}$ 軸についての慣性モーメント kgm<sup>2</sup>  
 $\Omega$ : ロータの回転速度 (角速度) rad/s  
 $\rightarrow$  電気モータ等で一定回転を与える

$I_R\Omega \rightarrow$  大きくする

$\Omega \gg \omega(t) \rightarrow$  式 (2.10) において  $\omega(t)$  を無視  
 オイラーの法則において, 力がロータに作用しない場合

$\hat{H}(t)$ : 慣性空間において一定 (保存)

$\rightarrow$  ジャイロスコープの基本特性の調査

オイラーの法則:

ロータに作用する任意力とロータの合成運動との  
 関係を与える  
 モーメントの総和

$\vec{M}(t) = \frac{d\hat{H}(t)}{dt}$  N-m (2.11)

従って,

$\vec{M}(t) = \frac{d\hat{H}(t)}{dt} = I_P\Omega\frac{d\hat{i}(t)}{dt} + I_0\ddot{\theta}(t)\hat{k}(t) + I_0\dot{\theta}(t)\frac{d\hat{k}}{dt}$  (2.12)

ジャイロスコープ:

センサとして使用 (航空機, 宇宙船等)

↓  $\rightarrow$  天文台の Bose(?)

位置, 速度, 加速度を与える? ... 機械的

レートジャイロスコープ:

移動台の角度割合に比例した信号を与える

ジンバル ... 箱の回転角  $\theta(t)$

回転 0.1 rad  $\rightarrow \frac{0.1}{2\pi} \times 360 = 6^\circ$  を超えない

... 小さいと見なす

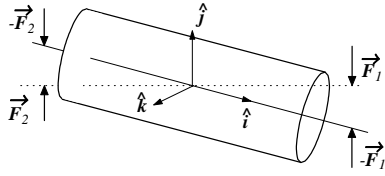
↓

$\omega(t)$  を測定する system

$\hat{k}$  軸 ... 出力軸と同じ軸

ジンバル ... 慣性空間に関連

単位ベクトル  $\hat{i}, \hat{j}, \hat{k}$  を定める



Unit vectors on a gyroscope.

角運動量

$$\vec{H}(t) = I_R \Omega \hat{i}(t) + I_0 \dot{\theta}(t) \hat{k}(t) \text{ kg-m}^2/\text{s} \quad (2.10)$$

から

$$\begin{aligned} \vec{M}(t) &= \frac{d\vec{H}(t)}{dt} \text{ N-m} \\ &= I_R \Omega \frac{d\hat{i}(t)}{dt} + I_0 \ddot{\theta}(t) \hat{k}(t) + I_0 \dot{\theta}(t) \frac{d\hat{k}(t)}{dt} \end{aligned} \quad (2.12)$$

ここで,  $I_R$ :  $i$  軸,  $I_0$ :  $k$  軸回りの慣性モーメント  
ジャイロスコープが角速度  $\omega$  を受けたとすると

$$\vec{\omega}(t) = \omega t \hat{j} \text{ [rad/s]} \quad (2.13)$$

また,

$$\begin{aligned} \frac{d\hat{i}(t)}{dt} &= -\omega(t) \hat{k}(t) \\ \frac{d\hat{k}(t)}{dt} &= \omega(t) \hat{i}(t) \end{aligned}$$

の関係が成立しているので, この式を式 (2.12) に代入すると

$$\vec{H}(t) = [I_0 \dot{\theta}(t) - I_R \Omega \omega(t)] \hat{k}(t) \text{ N-m} \quad (2.14)$$

ここで

$$\dot{\theta}(t) \omega(t) = 0 (\ll \Omega \omega(t))$$

$$\begin{aligned} x_1(t) &= \theta(t) \\ x_2(t) &= \dot{\theta}(t) \end{aligned} \quad \rightarrow I_T = I_G + I_0$$

したがって, 次の状態方程式モデルを得る.

$$\begin{aligned} \text{Dynamics: } \quad & \dot{x}_1(t) = x_2(t) \\ & \dot{x}_2(t) = -\left[\frac{k}{I_T}\right] x_1(t) - \left[\frac{d}{I_T}\right] x_2(t) + \left[\frac{I_R \Omega}{I_T}\right] \omega(t) \\ \text{Sensor: } \quad & e_{out}(t) = K_s \theta(t) \\ \text{Conditions: } \quad & t_0 \leq t \leq t_F; x_1(t_0), \text{ and } \omega(t) \text{ are known.} \end{aligned} \quad (2.18)$$

さらに,  $I_G$  をジンバル箱の慣性モーメントして

$$I_G \ddot{\theta}(t) = I_R \Omega \omega(t) - I_0 \ddot{\theta}(t) - k\theta(t) - d\dot{\theta}(t)$$

すなわち, ジンバルにかかる回転モーメント  $M(t)$  は,

$$I_G \ddot{\theta}(t) + k\theta(t) + d\dot{\theta}(t) = -M(t)$$

よって,

$$[I_G + I_0] \ddot{\theta}(t) + d\dot{\theta}(t) + k\theta(t) = [I_R \Omega] \omega(t) \quad (2.15)$$

ここで,  $k$ : N-m/rad,  $d$ : N-m/(rad/s).

エンコーダー, ポテンシオメーター

⇒ 回転角度, 回転速度測定

⇒ 出力 output: 電圧

出力 ⇒ 電圧 [V] として出てくる. すなわち

$$e_{out} = K_s \theta(t) \text{ [V]} \quad (2.16)$$

$K_s$ : Scale factor 比例定数 [V/rad]

定常応答  $\omega(t) = \omega_{ss}$  (一定)

$$\ddot{\theta}(t) = 0, \quad \dot{\theta}(t) = 0$$

$$\theta_{ss} = [I_R \Omega / k] \omega_{ss}$$

式 (2.16) に代入

$$e_{out} = K_s \left[ \frac{I_R \Omega}{k} \right] \omega_{ss}$$

$$\therefore \frac{e_{out}}{\omega_{ss}} = \frac{K_s I_R \Omega}{k} \text{ [V/rad/s]} \quad (2.17)$$

## 2.4. Pendulum with Moving Base

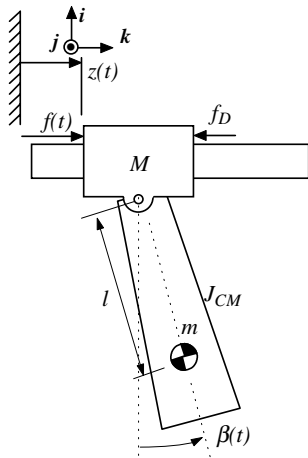


Fig2.6 Cart-pendulum system.

図2.6に示すように、動く台車に取り付けられた振り子の運動を考える。図に示すように直交座標系に対応した単位ベクトルを  $i, j, k$  とする。台車の運動は水平方向のみに固定されているとし、質量を  $M$ 、基準点からの変位を  $z(t)$ 、作用する力を  $f(t)$  とする。レールと台車の間には、粘性摩擦  $f_D$  が作用していると仮定する。また、振り子の質量を  $m$ 、 $j$  軸回りの慣性モーメントを  $J_{CM}$ 、回転中心から重心までの距離を  $l$  とし、垂直下向きにおろした線からの反時計回りの回転角を  $\beta(t)$  とする。

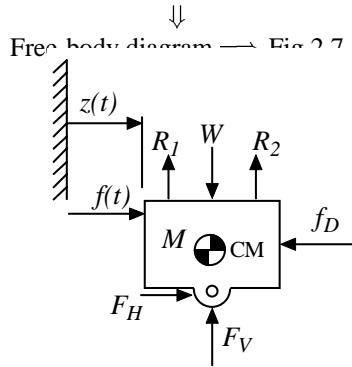


Fig2.7a Free-body diagram for the cart.

ここで、

$$\vec{W} = -Mg\hat{i}$$

ここで、 $R_1, R_2, \vec{F}_V$ : レールと台車の間に働く反力とし、

$$\begin{aligned}\vec{f}(t) &= f(t)\hat{k} \\ \vec{f}_D(t) &= -D\dot{z}(t)\hat{k}\end{aligned}$$

及び振り子からの反力を  $\vec{F}_H$  とすると、台車の運動方程式は

$$M\ddot{z}(t) = f(t) - D\dot{z}(t) + F_H(t) \quad (2.19)$$

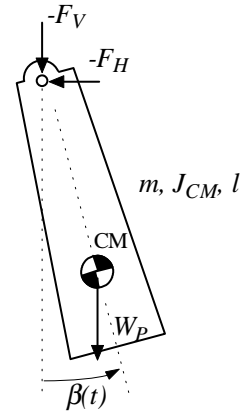


Fig2.7b Free-body diagram for the pendulum.

振り子に対する Free-body diagram において、 $\vec{W}_P = mg \cdot (-\hat{i})$  であり、さらに、空気摩擦を無視すると、Newton の第2法則より、振り子の運動方程式は

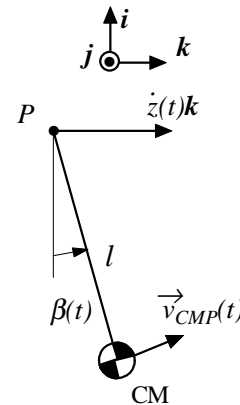
$$\vec{W}_P - \vec{F}_V(t) - \vec{F}_H(t) = mg(-\hat{i}) - F_V\hat{i} - F_H(t)\hat{k} \quad (2.21)$$


Fig2.8 Kinematics of pendulum motion.

また、図2.8より

$$\vec{v}_{CMI}(t) = \dot{z}(t)\hat{k} + \vec{v}_{CMP}(t) \quad (2.22)$$

成分で表すと

$$\vec{v}_{CMI} = [l\dot{\beta}(t) \sin \beta(t)]\hat{i} + [\dot{z}(t) + l\dot{\beta}(t) \cos \beta(t)]\hat{k} \quad (2.23)$$

従って，質量中心の加速度は

$$\hat{\mathbf{a}}_{CMI}(t) = \frac{d\hat{\mathbf{v}}_{CMI}(t)}{dt} = \left[ l\ddot{\beta}(t) \sin \beta(t) + l\dot{\beta}^2(t) \cos \beta(t) \right] \hat{\mathbf{i}} + \left[ \ddot{z}(t) + l\ddot{\beta}(t) \cos \beta(t) - l\dot{\beta}^2(t) \sin \beta(t) \right] \hat{\mathbf{k}} \quad (2.25)$$

例えば，Euler の法則をこの運動に対して表現すると

$$\left[ \begin{array}{c} \text{sum of all moments of all forces} \\ \text{acting on the body about an axis} \\ \text{through the center of mass and} \\ \text{normal to the plane of motion} \end{array} \right] = J_{CM} \times \left[ \begin{array}{c} \text{angular acceleration} \\ \text{of the body with} \\ \text{respect to inertial space} \end{array} \right] \quad (2.26)$$

ここで， $J_{CM}$  は重心回りの振り子の慣性モーメント．重心回りの運動を考えると  $\vec{W}_P$  によるモーメントは零，回転軸における接触力によるモーメントの合計は

$$[lF_H(t) \cos \beta(t) + lF_V(t) \sin \beta(t)] \vec{\mathbf{j}} \quad (2.27)$$

式 (2.26) の右辺は

$$J_{CM} \ddot{\beta}(t) \vec{\mathbf{j}} \quad (2.28)$$

従って，式 (2.21), (2.25) から  $\vec{\mathbf{i}}$  方向,  $\vec{\mathbf{k}}$  方向に対応するスカラー方程式が次のように定まる．

$$ml \left[ \ddot{\beta}(t) \sin \beta(t) + \dot{\beta}^2(t) \cos \beta(t) \right] = -F_V(t) - mg, \quad (2.29)$$

$$m\ddot{z}(t) + ml\ddot{\beta}(t) \cos \beta(t) - ml\dot{\beta}^2(t) \sin \beta(t) = -F_H(t). \quad (2.30)$$

さらに，式 (2.27), (2.28) から

$$lF_H(t) \cos \beta(t) + lF_V(t) \sin \beta(t) = J_{CM} \ddot{\beta}(t). \quad (2.31)$$

また，式 (2.19), (2.31) から

$$[M + m] \ddot{z}(t) + [ml \cos \beta(t)] \ddot{\beta}(t) = f(t) - D\dot{z}(t) + ml\dot{\beta}^2(t) \sin \beta(t), \quad (2.32)$$

$$[ml \cos \beta(t)] \ddot{z}(t) + [J_{CM} + ml^2] \ddot{\beta}(t) = -mgl \sin \beta(t). \quad (2.33)$$

それぞれ， $\ddot{z}(t)$ ,  $\ddot{\beta}(t)$  で表現する形式に変形する．

$$\ddot{z}(t) = \frac{1}{N} \left\{ (J_{CM} + ml^2) [f(t) - D\dot{z}(t) + ml\dot{\beta}^2(t) \sin \beta(t)] + (ml^2) g \cos \beta(t) \sin \beta(t) \right\}, \quad (2.34)$$

$$\ddot{\beta}(t) = -\frac{ml}{N} \left\{ (M + m) g \sin \beta(t) + ml\dot{\beta}^2(t) \cos \beta(t) \sin \beta(t) + \cos \beta(t) [f(t) - D\dot{z}(t)] \right\} \quad (2.35)$$

ここで，

$$N = (M + m) J_{CM} + ml^2 (M + m \sin^2 \beta(t)). \quad (2.36)$$

状態変数形式に変換するために次の状態変数を考える．

$$x_1(t) = z(t), x_2(t) = \dot{z}(t), x_3(t) = \beta(t), \text{ and } x_4(t) = \dot{\beta}(t). \quad (2.37)$$

したがって，

$$\begin{aligned} \dot{x}_1(t) &= x_2(t), \\ \dot{x}_2(t) &= a_{22}x_2(t) + a_{23} \sin x_3(t) + a_{2NL}(t) + b_2f(t), \\ \dot{x}_3(t) &= x_4(t), \\ \dot{x}_4(t) &= a_{42}x_2(t) + a_{43} \sin x_3(t) + a_{4NL}(t) + b_4f(t). \end{aligned} \quad (2.38)$$

ここで，

$$\begin{aligned} a_{22} &= -\left[ \frac{D(J_{CM} + ml^2)}{N} \right], & a_{23} &= \left[ \frac{(ml^2)g \cos x_3(t)}{N} \right], & b_2 &= \left[ \frac{J_{CM} + ml^2}{N} \right], \\ a_{42} &= \left[ \frac{mlD \cos x_3(t)}{N} \right], & a_{43} &= -\left[ \frac{mlg(M+m)}{N} \right], & b_4 &= -\left[ \frac{ml \cos x_3(t)}{N} \right], \\ a_{2NL} &= \left[ \frac{(J_{CM} + ml^2) mlx_4^2(t) \sin x_3(t)}{N} \right], \\ a_{4NL} &= -\left[ \frac{(ml)^2 x_4^2(t) \cos x_3(t) \sin x_3(t)}{N} \right], \end{aligned} \quad (2.39)$$

一般には、このように非線形項を含む方程式となる。そこで、通常行われているように、微小運動を仮定して、 $\beta(t) \ll 1$ ,  $\cos \beta(t) \approx 1$ ,  $\sin \beta(t) = \beta(t)$  と仮定し、 $\beta^2(t) \sin \beta(t) \ll 1$  などの変形を行う。すなわち、次のような線形な状態変数方程式の組が得られる。

$$\begin{aligned}\dot{x}_1(t) &= x_2(t), \\ \dot{x}_2(t) &= a_{22}x_2(t) + a_{23}x_3(t) + b_2f(t), \\ \dot{x}_3(t) &= x_4(t), \\ \dot{x}_4(t) &= a_{42}x_2(t) + a_{43}x_3(t) + b_4f(t).\end{aligned}\tag{2.40}$$

ここで、

$$\begin{aligned}a_{22} &= -\left[\frac{D(J_{CM}+ml^2)}{(M+m)J_{CM}+mMl^2}\right], & a_{23} &= \left[\frac{(ml^2)g}{(M+m)J_{CM}+mMl^2}\right], \\ b_2 &= \left[\frac{J_{CM}+ml^2}{(M+m)J_{CM}+mMl^2}\right], & a_{42} &= \left[\frac{mlD}{(M+m)J_{CM}+mMl^2}\right], \\ a_{43} &= -\left[\frac{mlg(M+m)}{(M+m)J_{CM}+mMl^2}\right], & b_4 &= -\left[\frac{ml}{(M+m)J_{CM}+mMl^2}\right],\end{aligned}\tag{2.41}$$

すなわち、線形の連立一階（常）微分方程式であり、行列形式で表わすと

$$\underbrace{\begin{bmatrix} \dot{x}_1(t) \\ \dot{x}_2(t) \\ \dot{x}_3(t) \\ \dot{x}_4(t) \end{bmatrix}}_{4 \times 1} = \underbrace{\begin{bmatrix} 0 & 1 & 0 & 0 \\ 0 & a_{22} & a_{23} & 0 \\ 0 & 0 & 0 & 1 \\ 0 & a_{42} & a_{43} & 0 \end{bmatrix}}_{4 \times 4} \underbrace{\begin{bmatrix} x_1(t) \\ x_2(t) \\ x_3(t) \\ x_4(t) \end{bmatrix}}_{4 \times 1} + \underbrace{\begin{bmatrix} 0 \\ b_2 \\ 0 \\ b_4 \end{bmatrix}}_{4 \times 1} \underbrace{[f(t)]}_{1 \times 1}.\tag{2.42}$$

よって、次のような状態方程式が求まる。

$$\dot{\boldsymbol{x}}(t) = \boldsymbol{A}\boldsymbol{x}(t) + \boldsymbol{B}f(t).\tag{2.43}$$

ここで、

$$\dot{\boldsymbol{x}}(t) = \begin{bmatrix} \dot{x}_1(t) \\ \dot{x}_2(t) \\ \dot{x}_3(t) \\ \dot{x}_4(t) \end{bmatrix}, \boldsymbol{x}(t) = \begin{bmatrix} x_1(t) \\ x_2(t) \\ x_3(t) \\ x_4(t) \end{bmatrix}, \boldsymbol{A} = \{a_{ij}\} = \begin{bmatrix} 0 & 1 & 0 & 0 \\ 0 & a_{22} & a_{23} & 0 \\ 0 & 0 & 0 & 1 \\ 0 & a_{42} & a_{43} & 0 \end{bmatrix}, \boldsymbol{B} = \begin{bmatrix} 0 \\ b_2 \\ 0 \\ b_4 \end{bmatrix}.\tag{2.44}$$

$\dot{\boldsymbol{x}}(t), \boldsymbol{x}(t)$ :  $4 \times 1$  行列, あるいは, 4次元ベクトル空間。

$\boldsymbol{A}$ : 4次元ベクトル空間  $\boldsymbol{x}(t)$  から 4次元ベクトル空間  $\dot{\boldsymbol{x}}(t)$  への変換行列。

$\boldsymbol{B}$ : 1次元ベクトル空間  $f(t)$  から 4次元ベクトル空間  $\dot{\boldsymbol{x}}(t)$  への変換行列。